

# GEOMETRYCZNA INTERPRETACJA TORSY: KRZYWIZNY POWIĄZANIA

(NOTATKI DO ĆWICZEŃ DO WYKŁADU  
Z GEOMETRII RÓŻNICZKOWEJ 2024/25)

[22]

Rozważmy rozmaitość  $M$ , w której stycznej  $TM$  ①  
wybrano powiązanie o współczynnikach Christoffela  $\Gamma$ .  
Będą nas interesować dwa zagadnienia początkowe:

(1) zagadnienie geodezyjne:

$$\gamma: ]-\varepsilon, \varepsilon[ \rightarrow M \quad : \quad \ddot{\gamma} = -\Gamma(\dot{\gamma}, \dot{\gamma}), \quad \gamma(0) = x \\ \dot{\gamma}(0) = v$$

(2) zagadnienie transportu równoległego  
wzdłuż geodezyjnej:

$$w: ]-\varepsilon, \varepsilon[ \rightarrow TM|_{\gamma(]-\varepsilon, \varepsilon[)} \quad : \quad \dot{w} = -\Gamma(\dot{\gamma}, w), \quad w(0) = w$$

NA POCZĄTKU ZBADAMY DOMYKALNOŚĆ PĘTLI GEODEZYJNEJ ②  
 W PRZYBLIŻENIU KWADRATOWYM W PARAMETRZE EWOLUCJI.

ROZWAJAMY ZATEM NASTĘPUJĄCY PROBLEM

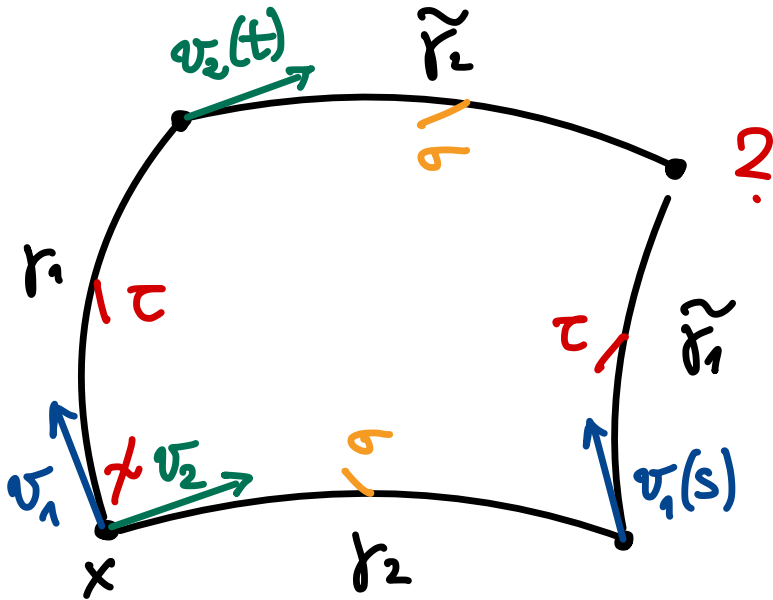
WARUNKI POCZĄTKOWE

$$\tilde{\gamma}_2 : \gamma_1(t), \tilde{\sigma}_2(t)$$

↑ WYEWOLUOWANY  
 z  $\sigma_2 \equiv \tilde{\sigma}_2(0)$

$$\tilde{\gamma}_1 : \gamma_2(s), \tilde{\sigma}_1(s)$$

↑ WYEWOLUOWANY  
 z  $\sigma_1 \equiv \tilde{\sigma}_1(0)$



$$\tau \in [0, t], \quad t < \varepsilon \approx 0$$

$$\sigma \in [0, s], \quad s < \varepsilon \approx 0$$

ROZWIĄZANIE PRZYBLIŻONE 3.9. (1):

③

$$(\dot{\gamma})'(z) = -\Gamma_{\dot{\gamma}}(\dot{\gamma}, \dot{\gamma})(z) = -\Gamma_{\gamma(0)}(v, v) + O(\tau)$$

$$\Gamma_{\gamma(0)} \equiv \Gamma(0, 0, 0)$$

$$\dot{\gamma}(z) = v - \tau \Gamma(v, v) + O(\tau^2)$$

$$\gamma(z) = x + \tau v - \frac{1}{2} \tau^2 \Gamma(v, v) + O(\tau^3)$$

(W LOKALNEJ REPREZENTACJI WSPÓŁZĘDNICOWEJ)

# ROZWIĄZANIE PRZYBLIŻONE Z.T.R. (2):

(4)

W 1. RZĘDZIE:

$$\tilde{w}(z) = w - \tau \Gamma(v, w) + \mathcal{O}(\tau^2), \text{ CO UWZGLĘDNIAMY W}$$

$$\tilde{w}(z) \equiv w - \int_0^\tau d\xi \Gamma_{\gamma(\xi)}(\tilde{v}(\xi), \tilde{w}(\xi))$$

$$= w - \int_0^\tau d\xi \left( \Gamma + (\gamma(\xi) - x)^i \partial_i \Gamma \right) \left( v - \xi \Gamma(v, v), w - \xi \Gamma(v, w) \right) + \mathcal{O}(\tau^3)$$

$\nwarrow \xi=0$        $\nwarrow w \xi=0$   
 $\Gamma: \rho_{ijk}$       obliczone na  $\tilde{w}(\tau; w)$   
 $\equiv$

$$= w - \tau \Gamma(v, w) - \frac{1}{2} \tau^2 \left( \partial_i \Gamma_{jk} - \Gamma_{il} \Gamma_{jk}^l \right) v^i v^j w^k + \frac{1}{2} \tau^2 \Gamma(\Gamma(v, v), w) + \mathcal{O}(\tau^3)$$

⑤

JEST ZATEM

$$\begin{cases} \tilde{\gamma}_1(t) = x + t v_1 - \frac{1}{2} t^2 \Gamma(v_1, v_1) + O(t^3) \\ \tilde{v}_2(t) = v_2 - t \Gamma(v_1, v_2) + O(t^2) \end{cases}$$

↓

$$\tilde{\gamma}_2(s) = \tilde{\gamma}_1(t) + s v_2(t) - \frac{1}{2} s^2 \Gamma(v_2, v_2) + O(s^k t^{3-k}) \stackrel{\tau=0}{\text{ozn.}} =: \Delta$$

$$= x + t v_1 - \frac{1}{2} t^2 \Gamma(v_1, v_1) + s v_2 - s t \Gamma(v_1, v_2) - \frac{1}{2} s^2 \Gamma(v_2, v_2) + \Delta$$

ANALOGICZNIŃE:  $\begin{cases} \tilde{\gamma}_2(s) = x + s v_2 - \frac{1}{2} s^2 \Gamma(v_2, v_2) + O(s^3) \\ \tilde{v}_1(s) = v_1 - s \Gamma(v_2, v_1) + O(s^2) \end{cases}$

$(s, t, 1, 2) \rightarrow (t, s, 2, 1)$

$$\tilde{\gamma}_1(t) = x + s v_2 - \frac{1}{2} s^2 \Gamma(v_2, v_2) + t v_1 - t s \Gamma(v_2, v_1) - \frac{1}{2} t^2 \Gamma(v_1, v_1) + \Delta$$

NA OBECNYM ETAPIE STWIERDZAMY :

⑥

$$\tilde{\gamma}_2(s) - \tilde{\gamma}_1(t) = st \left( \Gamma(v_2, v_1) - \Gamma(v_1, v_2) \right) + \Delta$$

EFEKT II RZĘDU

(DE FACTO STYLIZACJOWY,  
BO BIORĄCY SIĘ Z NIESYM.  
PRZYRÓSTÓW  $v_1$  I  $v_2$ )

: NIEDOMYKANIE SIĘ  
PĘTLI GEODEZYJNEJ,  
KTÓREGO ŹRÓDŁEM JEST  
TORSJA.

W NASTĘPNEJ KOLEJNOŚCI PRZEŚLEDZIMY TRANSPORT  
WEKTORA WZDŁUŻ OBU „PÓŁPĘTLI” GEODEZYJNYCH...

NAJPIERW EWOLUCYJEMY W  $z$  X DO  $\gamma_1(t)$  WZDUŻY  $\delta_1$  (7)  
 i DALEJ Z  $\gamma_1(t)$  DO  $\tilde{\gamma}_2(s)$  WZDUŻY  $\tilde{\delta}_2$ :

$$\begin{aligned}
 \tilde{w}(s; \tilde{w}(t; w)) &= \tilde{w}(t; w) - s \Gamma_{\delta_1(t)}(\tilde{v}_2(t), \tilde{w}(t; w)) \\
 &\quad + \frac{1}{2} s^2 \Gamma_{\delta_1(t)}(\Gamma_{\delta_1(t)}(\tilde{v}_2(t), \tilde{v}_2(t)), \tilde{w}(t; w)) \\
 &\quad - \frac{1}{2} s^2 \rho_{\gamma_1(t)}(\tilde{v}_2(t), \tilde{v}_2(t), \tilde{w}(t; w)) + \Delta \\
 &= w - t \Gamma(v_1, w) + \frac{1}{2} t^2 \Gamma(\Gamma(v_1, v_1), w) - \frac{1}{2} t^2 \rho_{\delta_1(0)}'''(v_1, v_1, w) \\
 &\quad - s \Gamma(v_2, w) - st v_1^i \partial_i \Gamma(v_2, w) + st \Gamma(\Gamma(v_1, v_2), w) + st \Gamma(v_2, \Gamma(v_1, w)) \\
 &\quad + \frac{1}{2} s^2 \Gamma(\Gamma(v_2, v_2), w) - \frac{1}{2} s^2 \rho(v_2, v_2, w) + \Delta
 \end{aligned}$$

NASTĘPNIE PROWADZIMY EWOLUCJĘ W  $z \times X$  DO  $\gamma_2(s)$  WZDŁUŻ  $\gamma_2$  (2)  
 i DALEJ Z  $\gamma_2(s)$  DO  $\tilde{\gamma}_1(t)$  WZDŁUŻ  $\tilde{\gamma}_1$ :  $(1, 2, s, t) \mapsto (2, 1, t, s)$

$$\begin{aligned} \tilde{\kappa}(t; \tilde{w}(s; w)) &= w - s \Gamma(v_2, w) + \frac{1}{2} s^2 \Gamma(\Gamma(v_2, v_2), w) - \frac{1}{2} s^2 \rho(v_2, v_2, w) \\ &\quad - t \Gamma(v_1, w) - ts v_2^i \partial_i \Gamma(v_1, w) + ts \Gamma(\Gamma(v_2, v_1), w) + ts \Gamma(v_1, \Gamma(v_2, w)) \\ &\quad + \frac{1}{2} t^2 \Gamma(\Gamma(v_1, v_1), w) - \frac{1}{2} t^2 \rho(v_1, v_1, w) + \Delta \end{aligned}$$

Z PORÓWNIANIA OTRZYMUJEMY:

$$\begin{aligned} \tilde{w}(s; \tilde{w}(t; w)) - \tilde{w}(t; \tilde{w}(s; w)) &= -st \left( \partial_i \Gamma_{jk} - \partial_j \Gamma_{ik} + \Gamma_{il} \Gamma_{jk}^l - \Gamma_{jl} \Gamma_{ik}^l \right) v_1^i v_2^j w^k \\ &\quad + st \Gamma(\Gamma(v_1, v_2) - \Gamma(v_2, v_1), w) + \Delta \\ &\equiv -st R(v_1, v_2, w) + st \Gamma(\Gamma(v_1, v_2), w) + \Delta \end{aligned}$$

STwierdzamy: (\*) PIERWOTNY EFEKT II RZĘDU: (9)

NIEDOMYKANIE SIĘ  
POZIOMEJ PODNIESIENIA  
"FETU" W BAZIE DO STYCZNEJ,  
PROPORCJONALNY DO POLA POWIERZCHNI  
"FETU" BAZOWEJ,  
KTÓREGO ŹRÓDŁEM JEST KRZYWIŻNA.

(\*\*) WTÓRNY EFEKT II RZĘDU:

NIEDOMKNIĘCIE TORZYŃNE